

畦畔用 噴霧機의 Nozzle에 關한 研究(IV)

(中距離用 Nozzle에 있어서 口徑과 壓力의 特性)

A Study on the Wide Reach Nozzle of Sprayer(IV)

(Characteristics of cap hole diameter and pressure
for the medium range nozzle)

邕 章 祐* · 李 相 祐**

Chang Woo Ong* · Sang Woo Lee.**

Summary

This study was conducted to examine the effects of the change of cap hole diameter and pressure on the travelling distance and the sprayed particle size for the medium range nozzle.

The results of this study are summarized as follows;

- 1) The effective travelling distance was about from 1 meter to 8 meters and centro-position of the travelling distance was about 3 or 5 meters.
- 2) Main effect of change of cap hole diameter for the travelling distance was a slight convex quadratic curve.
- 3) Main effect of change of pressure increased linearly, its increasing rate about 1.6 was large.
- 4) Sizes of sprayed particles were less than 250μ generally and the sizes decreased according to the increasing of travelling distance.
- 5) Changes of diameter of sprayed particles by cap hole diameter increased in accordance with increasing of cap hole diameter.
- 6) Changes of diameter of sprayed particles by the groove depth of swirl plate was very slight.

I. 緒 論

第 I, II 報에서 近距離用 Nozzle의 噴霧到達性에
關하여 報告하였고 第 III 報에서 中距離用 Nozzle의
噴霧到達性에 影響을 미치는 中子의 導溝깊이變化,
cap의 句配變化, Nozzle 口徑變化, 壓力變化 等의
因子 間의 交互效果 檢定 結果의 報告와 이어서 導
溝깊이變化와 Cap의 句配變化 間의 噴霧到達性의

影響에 關하여 報告하였다. 本報에서는 中距離用
Nozzle의 因子 中 Nozzle 口徑變化와 壓力變化가
噴霧到達距離와 噴霧粒子크기에 미치는 影響을 實
驗 考察 하자 한다.

II. 實驗裝置 및 實驗方法

1. 供試機具 및 製置

가. 原動機 ; F.F.K. Diesel Engine, 最大出力

*忠南大學校 工科大學

**忠南大學校 農科大學

7.5 P.S./ 1600 R.P.M.

나. 動力噴霧機; 大同 T-8型(水平 3聯 plunger型)最高壓力 $35\text{kg}/\text{cm}^2$.

다. 壓力調節裝置; Steam의 安全弁을 改造하여 精密度를 높인 自製品으로 噴霧實驗中 壓力變動範圍를 $\pm 1\text{ kg}/\text{cm}^2$ 內外로 維持할 수 있는 것이며 壓力計는 精密度 $1/10\text{ kg}/\text{cm}^2$ 입.

라. Nozzle 本體는 自製品으로 第 I 報 Fig. 1과 같고 Nozzle Cap, Cap Disc는 第 II 報 Fig. 1과 같으며 Nozzle 中子는 第 III 報 Fig. 1과 같다.

마. 噴霧落下量測定裝置; 第 I 報의 噴霧落下量測定裝置 圖面과 같이 $4000\text{mm} \times 50\text{mm}$ 의 물받이를 Nozzle 噴口로 부터 50cm 間隔으로 15m 까지 30個를 $3/100$ 의 句配로 配置하고 그 端部에 $1l$ 미카를 각各配置하여 噴霧落下量을 採集케 하였다.

바. 噴霧粒子의 測定裝置; 第 II 報의 Fig. 2와 같이 噴霧中央線上에 Nozzle 噴口로 부터 1m 間隔으로 깊이 5mm 정도의 모비루油를 넣은 100mm 의 petridish를 배치하여 噴霧粒子를 採集케 하였다.

2. 實驗方法

中距離 Nozzle에 있어서 Nozzle 口徑과 壓力變化가 噴霧到達性에 미치는 主效果 및 交互作用效果와

Table-1. Experimente design(XI)

Fixed factor; pressure $25\text{kg}/\text{cm}^2$
;cap slope $50/10$

Part	Experiment No.	Experiment allocation	
		depth of swirl groove(mm)	cap hole dia.(mm)
XI	II-1-1	2	1.4
	II-1-2	3	
	II-1-3	4	
	II-1-4	5	
	II-1-5	6	
	II-2-1	3	1.8
	II-2-2	2	
	II-2-3	4	
	II-2-4	5	
	II-2-5	6	
XII	II-3-1	2	2.2
	II-3-2	3	
	II-3-3	4	
	II-3-4	5	
	II-3-5	6	
	II-4-1*	2	2.5
	II-4-2*	3	
	II-4-3*	4	
	II-4-4*	5	
	II-4-5*	6	
XIII	II-5-1	2	3.0
	II-5-2	3	
	II-5-3*	4	
	II-5-4	5	
	II-5-5	6	

* 噴霧粒子 크기 調查區

噴霧粒子의 크기에 미치는 影響을 調査하기 為하여 Nozzle 口徑과 導溝깊이(實驗 XI), Nozzle 口徑과 噴霧壓力(實驗 XII)을 各各 5個 水準으로 하여 2因子의 要因實驗法에 依하여 實驗을 實施하였다.

Table-2. Experiment design(XIII)

Fixed factor: depth of swirl groove 4mm
;cap slope 50/10

Part	Experiment No.	Experiment allocation	
		pressure (kg/cm^2)	cap hole dia. (mm)
XIII	III-1-1	15	1.4
	III-1-2	20	
	III-1-3*	25	
	III-1-4	30	
	III-1-5	35	
	III-2-1	15	1.8
	III-2-2	20	
	III-2-3*	25	
	III-2-4	30	
	III-2-5	35	
	III-3-1	15	2.2
	III-3-2	20	
	III-3-3*	25	
	III-3-4	30	
	III-3-5	35	
	III-4-1	15	2.5
	III-4-2	20	
	III-4-3*	25	
	III-4-4	30	
	III-4-5	35	
	III-5-1	15	3.0
	III-5-2	20	
	III-5-3*	25	
	III-5-4	30	
	III-5-5	35	

*: 噴霧粒子 크기 調査區

每實驗의 噴霧時間은 2分間으로 하고 壓力變動範圍는 $\pm 1\text{ kg}/\text{cm}^2$ 以內로 하고 實驗回數는 每實驗時 3反複으로 하였고 每反複時 Nozzle을 再組立하여 組立에서 因基되는 誤差를 測定值에 包含토록 하였다. 落下量의 測定은 Mass Cylinder에 依하였다.

噴霧粒子크기의 調査方法은 petridish속의 모비루油面上에 噴霧粒子를 採集하여 이를 即時 현미경에 依하여 平均直徑을 測定하였다. 採集時間은 油面上에서 粒子가 重複되지 않는 範圍로 落下量에 따라 調節하였다.

Nozzle 噴口의 높이는 採集裝置 平面에서 1m 로 하였고 噴霧의 支持角度는 20° 로 固定하였고 모든 實驗에 바람의 影響을 받지 않도록 室內 實驗을 實施하였다.

III. 結果와 考察

1. 噴霧粒子의 到達性

3回 反複한 到達距離別 噴霧落下量의 測定結果

平均하고 이를 $\text{cc}/\text{cm}^2/\text{min}$.로換算한 각實驗別落
下量의 分布圖는 Fig. 1, 2와 같다.

各實驗結果의 落下分布中心(C)를 $\Sigma M L / \Sigma M$ 로
計算하여 分布한結果는 Table 3, 4이다. 또한 5個
水準差의 平均值를 各因子別로求한 것이 Fig. 5
이다.

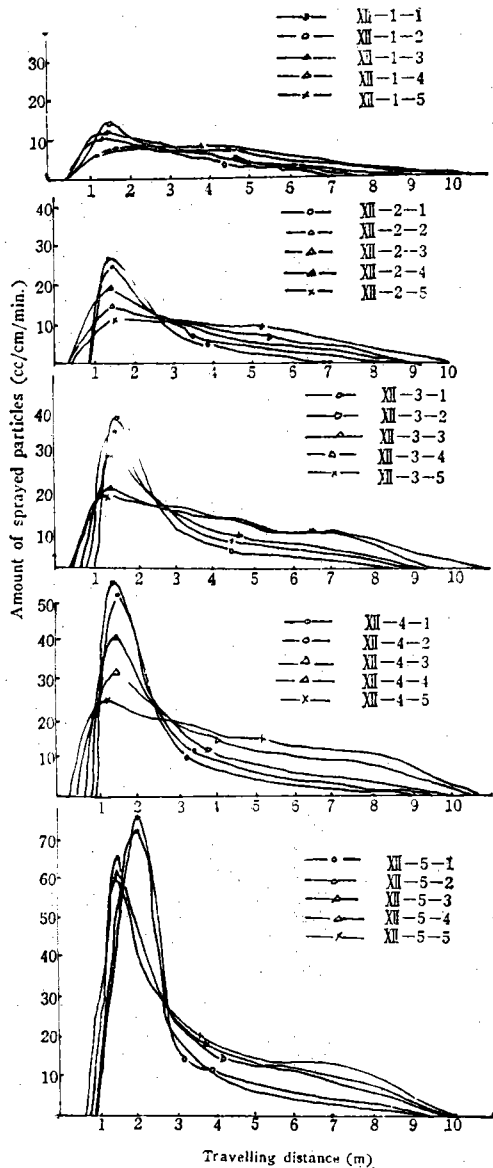


Fig. 1. The distribution curve of sprayed
particles with cap hole dia. and
depth of swirl groove. (Experiment No. XII)

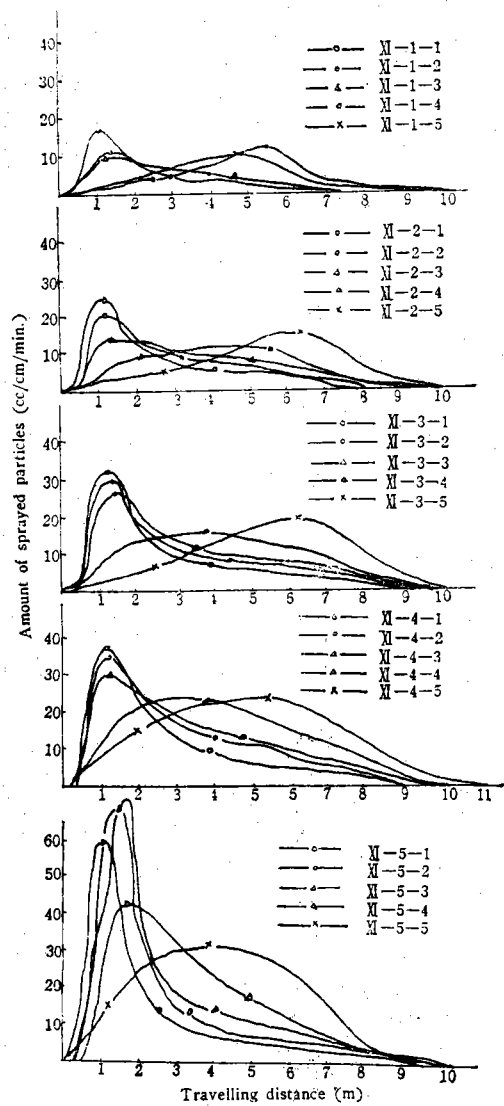


Fig. 2. The distribution curves of sprayed
particles with pressure and cap
hole dia. (Experiment No. XII)

Table 3. Analysis between cap hole dia. and
depth of groove on basis of the centroposition
of the travelling distance (Experiment No. XII)

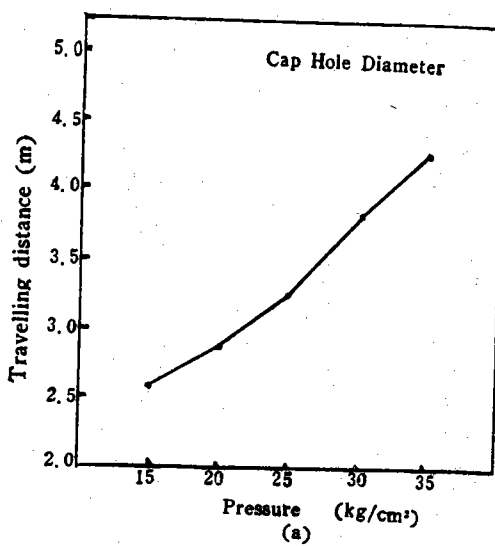
Factor	Cap hole dia. (mm)				
	1.4	1.8	2.2	2.5	3.0
Average Value	3.63	3.91	3.99	3.87	3.30
Tukey test	b	a	a	a	c
Orthogonal Polynomial Test					Quadratic
Main effects F-value					**197
Interaction F-value					**69.3

Factor	depth of groove(mm)				
	2	3	4	5	6
Average Value	3.68	3.12	3.49	4.28	5.12
Tukey test	e	d	c	b	a
Orthogonal Polynomial Test	Linear				
Main effects F-value	**2131				
Interaction F-value	**69.3				

Table-4. Analysis between cap hole dia. and pressure on basis of the centro-position of the travelling distance(Experiment No. III)

Factor	Cap hole dia.(mm)				
	1.4	1.8	2.2	2.5	3.0
Average value	3.35	3.37	3.49	3.42	3.23
Tukey test	b	b	a	ab	c
Orthogonal Polynomial Test	Linear, Quadratic				
Main effects F-value	**54.31				
Interaction F-value	**24.46				

	Pressure(kg/cm ²)				
	15	20	25	30	35
Average Value	2.59	2.89	3.28	3.83	4.26
Tukey test	e	d	c	b	a
Orthogonal Polynomial Test	Linear				
Main effects F-value	**2620				
Interaction F-value	**24.46				



-3875-

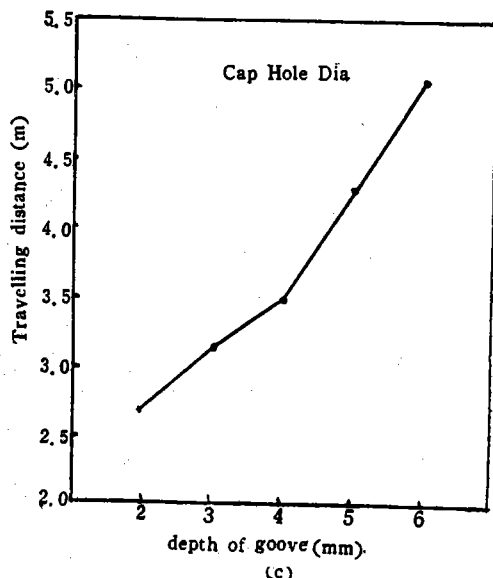
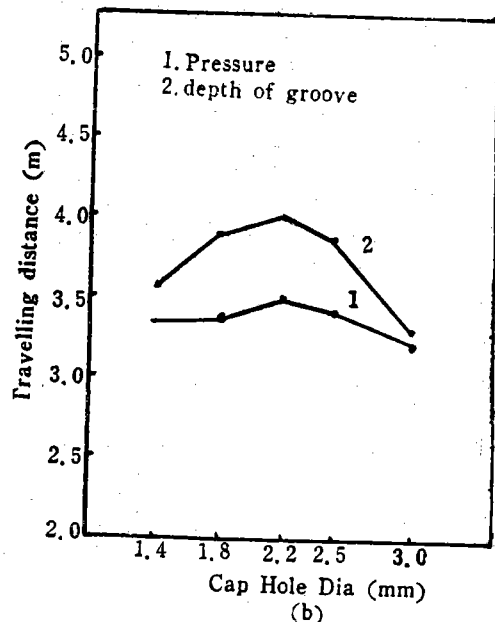


Fig. 3. The mean values of the centro-position of the travelling distance for three factors.

中距離用 Nozzle의 有効噴霧到達距離는 Fig 1,2에 서一般的으로 1~8m 程度이고 落下中心距離는 3~5m 이다.

Nozzle 口徑變化 影響은 Table 3,4에서 他 因子와의 交互作用 및 主效果가 有意함을 알 수 있으나 導溝깊이 나 壓力에 比하여 共히 有意性이 적었다.

平均值의一般的變化는 Fig. 3 (b)와 Table 3, 4에서
시작하게 二次的凸形으로變化하였고 2.2mm内外
에서最大를 表示하고 있다. Nozzle 口徑 2.5mm와
3.0mm에서 到達性이 떨어진原因是近距離用 Nozzle
에서와 같이 Nozzle內의 壓力變化로 噴出速度의 降
下로 因한 것으로 본다.

壓力變化와 導溝깊이變化의 主效果는 Fig. 5(a),
Fig. 5(c)의 圖表와 Table 3, 4에서 一次的變化로
有意性이 대우 커으며 壓力變化의 效果는 增加의 變
化率이 1.6 内外이었다.

2. 噴霧粒子의 크기

3回反復한測定結果를 到達距離別로 圖示한 平均
粒徑變化는 Fig. 6이고 Nozzle 口徑變化에 對한 平
均粒徑變化를 圖示한 것은 Fig. 7이며, 中子의 導溝
깊이變化에 對한 것은 Fig. 8이다.

Fig. 6, 7, 8에서 平均粒徑 D 는 $D = (d_1m_1 + d_2m_2 + d_3m_3 + \dots) / (m_1 + m_2 + m_3 + \dots)$ 이며 여기서 m_r 는 到
達距離別 落下量이고 d_r 는 到達距離別落下粒徑이다.

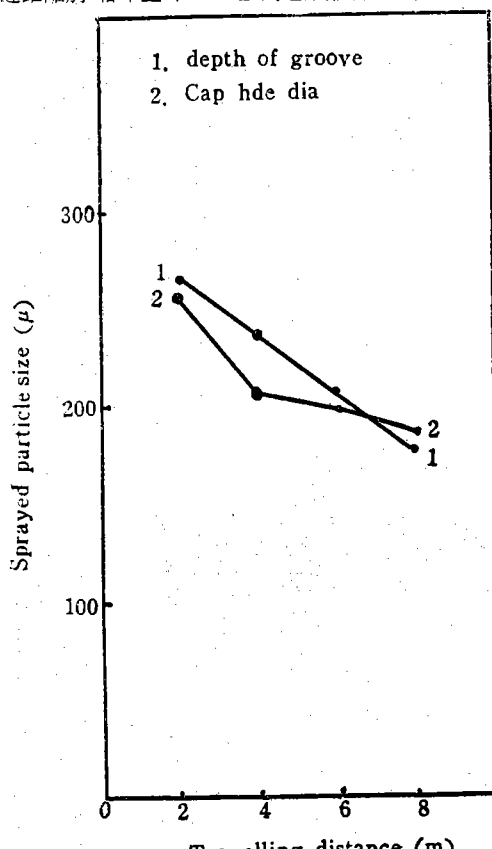


Fig. 4. Relation between sprayed particle size and travelling distance.

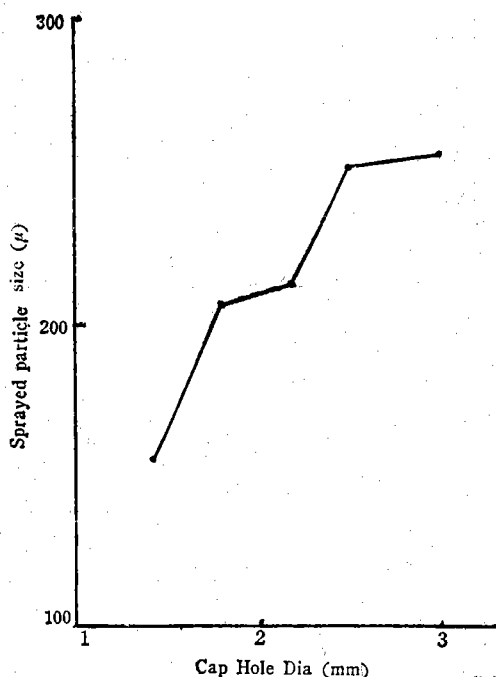


Fig. 5. Relation between sprayed particle size and cap hole diameter.

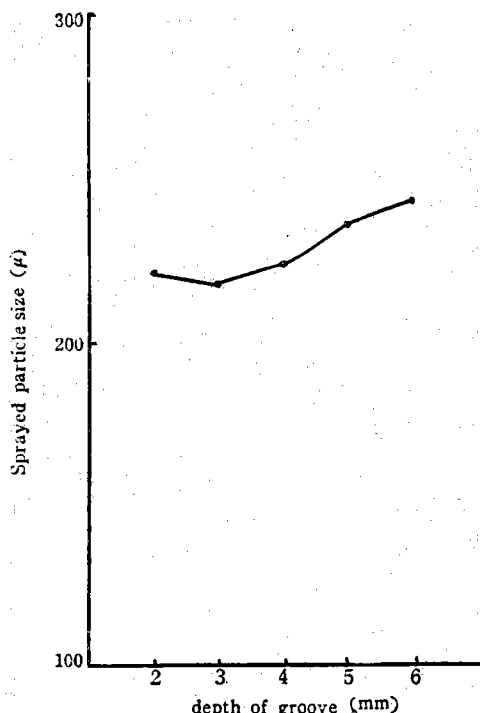


Fig. 6. Relation between sprayed particle size and depth of groove.

Fig. 6에서 到達距離의 增加에 依하여 噴霧粒徑이多少 減少되는 傾向을 보이고 있다. 이 原因은 II報에서 指摘한 바와 같이 到達距離 1~3m 間(Fig. 1, 2 참조)에서 落下量이 極히 多으로 噴霧된 粒子가 落下途中에 結合되고 6m~8m에 있어서는 噴出微粒子가 氣流에 依하여 滑遊移動된 것으로 본다. 中距離用 Nozzle 實驗時의 粒徑은 總體의 으로 近距離用 Nozzle 實驗時의 測定值보다 크고 250 μ 以下이었다.

Fig. 7에서 Nozzle 口徑變化에 依한 粒徑變化는 孔徑의 增大에 따라 平均粒徑이 增大되었고 Fig. 8에서 導溝깊이의 變化에 依한 粒徑變化는 거의 없을程度로 작았다.

IV. 結論

畦畔用 Nozzle에 있어서 中距離用 Nozzle의 因子

가운데 Nozzle 口徑과 噴霧壓力이 噴霧到達性과 噴霧粒子의 크기에 미치는 影響을 實驗 考察한結果 다음과 같은 結論을 얻었다.

1. 有効噴霧到達距離는 1~8m 程度이고 落下分布中心距離는 3~5m 內外이다.
2. Nozzle 口徑變化는 弱한 凸形二次變化로서 到達性의 効果는 매우 弱하였다.
3. 壓力變化의 効果는 一次的 增加로서 變化率은 1.6 內外로 到達性의 効果는 커다.
4. 總體의 으로 噴霧落下粒徑은 250 μ 以下이고 到達距離의 增加에 따라多少 粒徑이 減少되었다.
5. Nozzle 口徑變化에 依한 粒徑變化는 孔徑이 커짐에 따라 增大하였다.
6. 導溝깊이의 變化에 依한 粒徑變化는 거의 없었다.

참 고 문 헌

1. 今井正信・田邊一(1969)：噴霧粒子の 飛行及び 到達性能について，日本農業機械學會誌，Vol. 19~3, p. 124.
2. 棚澤泰・豊田章一郎(1954)：高壓高速液流の 微粒化の研究，日本機械學會論文集，Vol. 20~92.
3. 喻章祐・李相祐(1973)：畦畔用 噴霧機의 Nozzle에 關한 研究(I)，韓國農工學會誌，第15卷 第2號 p. 32~53.

- 4) 喻章祐・李相祐(1973)：畦畔用 噴霧機의 Nozzle에 關한 研究(II)，韓國農工學會誌，第15卷 第3號 p. 1~6.
- 5) 喻章祐・李相祐(1973)：畦畔用 噴霧機의 Nozzle에 關한 研究(III)，韓國農工學會誌，第15卷 第4號 p. 11~16.